



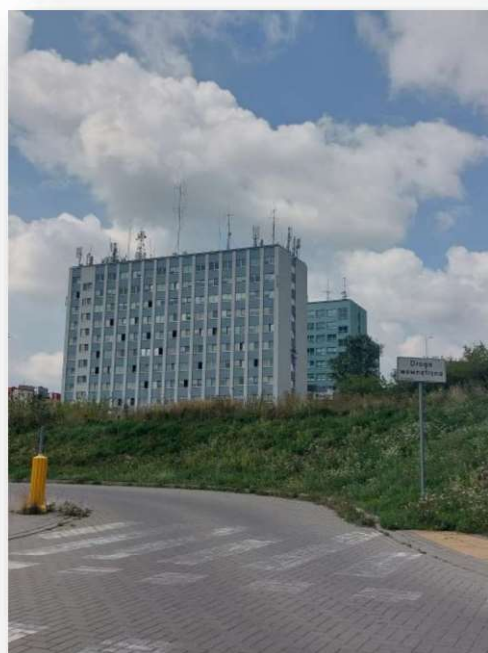
Laboratorium EMVO Sp. J. Urbański, Pawelak
ul. Jasna 1
00-013 Warszawa

tel. +48 22 780 29 64
e-mail: laboratorium@emvo.pl



AB 1630

Sprawozdanie z pomiarów pól elektromagnetycznych - środowisko nr 98/08/OŚ/2022– P4-W



Nr i nazwa stacji	LUB1087A	
Adres	Lublin, Zana 38, pow. Lublin, woj. lubelskie	
Opracowanie		Specjalista ds. pomiarów
Autoryzacja		Kierownik Laboratorium
Podpis	Podpis jest prawidłowy Dokument podpisany przez [redacted] Data: 2022.08.23 11:50:44 MS1 Powód: Zatwierdzam dokument	
Data	2022-08-17	

Spis treści

1. Informacje ogólne.....	3
2. Podstawa prawna.	3
3. Opis pomiarów.....	4
4. Zróżnicowanie dopuszczalne poziomy pól elektromagnetycznych.....	5
5. Charakterystyka źródeł PEM.....	5
6. Wyniki pomiarów.....	5
7. Stwierdzenie zgodności	6
8. Oświadczenie.....	8
9. Spis załączników.	8

1. Informacje ogólne.

Zleceniodawca	P4 sp. z o.o., ul. Wynałazek 1, 02-677 Warszawa osoba udzielająca informacji- [REDAKTOWANE]
Istotne informacje dostarczone przez klienta	komplet informacji niezbędnych do wykonania pomiarów i opracowania sprawozdania
Dane otrzymane od klienta mogące mieć wpływ na ważność wyników	Dane anten sektorowych, dane anten radioliniowych, parametry pracy instalacji, ustawienie pochylenia anten
Prowadzący instalację	P4 sp. z o.o., ul. Wynałazek 1, 02-677 Warszawa
Lokalizacja obiektu	Lublin, Zana 38, pow. Lublin, woj. lubelskie
Miejsce instalacji anten	Dach budynku
Miejsce instalacji urządzeń	Outdoor
Osoby wykonujące pomiar	[REDAKTOWANE]
Data wykonania pomiaru	17.08.2022
Temperatura na początku pomiaru [°C]	27,0
Temperatura na koniec pomiaru [°C]	27,0
Warunki atmosferyczne	Brak opadów
Wilgotność na początku pomiaru [%]	60,0
Wilgotność na koniec pomiaru [%]	60,0
Godzina na początku pomiaru	14:20
Godzina na koniec pomiaru	16:30
Inne źródła pól elektromagnetycznych oznaczone na załączniku graficznym	Występują inne źródła PEM.
Parametry pracy instalacji	Tryb eksploatacyjny

2. Podstawa prawna.

2.1 Normy i rozporządzenia:

- Rozporządzeniem Ministra Klimatu z dnia 17 lutego 2020 r. w sprawie sposobów sprawdzania dotrzymania dopuszczalnych poziomów pól elektromagnetycznych w środowisku (Dz.U. 2020 poz. 258)
- Rozporządzenie Ministra Zdrowia z dnia 17 grudnia 2019 r. w sprawie dopuszczalnych poziomów pól elektromagnetycznych w środowisku (Dz.U. 2019 poz. 2448)
- Obwieszczenie Marszałka Sejmu Rzeczypospolitej Polskiej z dnia 19 lipca 2019 r. w sprawie ogłoszenia jednolitego tekstu ustawy - Prawo ochrony środowiska (Dz.U. 2019 poz. 1396)
- Rozporządzenie Ministra Klimatu i Środowiska z dnia 6 maja 2022 r. zmieniające rozporządzenie w sprawie sposobów sprawdzania dotrzymywania dopuszczalnych poziomów pól elektromagnetycznych w środowisku (Dz.U. 2022 poz. 1121).

„Bez pisemnej zgody Laboratorium niniejsze sprawozdanie nie może być powielane inaczej, jak tylko w całości. Ponadto wyniki dotyczą tylko badanych obiektów przywołanych w niniejszym sprawozdaniu z badań”

3. Opis pomiarów

Metodologia pomiarowa	Pomiary w oparciu o Rozporządzeniem Ministra Klimatu z dnia 17 lutego 2020 r. w sprawie sposobów sprawdzania dotrzymania dopuszczalnych poziomów pól elektromagnetycznych w środowisku (Dz.U. 2020 poz. 258) oraz Rozporządzenie Ministra Klimatu i Środowiska z dnia 6 maja 2022 r. zmieniające rozporządzenie w sprawie sposobów sprawdzania dotrzymywania dopuszczalnych poziomów pól elektromagnetycznych w środowisku (Dz.U. 2022 poz. 1121).
Cel badań	Określenie wartości natężenia pola elektrycznego w miejscach dostępnych dla ludności.
Opis zestawu pomiarowego	Miernik Narda NBM 520, Sonda EF 9091, o zakresie pomiarowym 0,7 V/m - 300V/m pracująca w paśmie 0,1 – 90 GHz, świadectwo wydane przez Laboratorium Wzorców i Metrologii Pola Elektromagnetycznego, Instytut Telekomunikacji, Teleinformatyki i Akustyki Politechniki Wrocławskiej. Świadectwo ważne do 07.07.2023. Miernik Narda NBM 520, Sonda EF 9091 pracująca w zakresie temperatury -10°C - +50°C oraz wilgotności 5% - 95%. Niepewność rozszerzona wynosi 37,6% przy poziomie ufności 95% z uwzględnieniem współczynnika rozszerzenia k=2.
Wyposażenie pomocnicze	Termohigrometr Termoprodukt, typ: Termik+, nr identyfikacyjny 700618, świadectwo wzorcowania nr 1763/AH/19 z dn. 29.07.2019 r. wydane przez Laboratorium Pomiarowe "MUTECH". Przymiar wstępowy STABILA, nr identyfikacyjny 31WL, świadectwo wzorcowania nr 6W1/1826/19 z dn. 02.08.2019 r. wydane przez Dyrektora Okręgowego Urzędu Miar w Gdańsku. GPS Garmin 64s okresowo sprawdzany w punktach osnowy geodezyjnej klasy 3 na podstawie licencji punktu, zgodnie z procedurą sprawdzeń okresowych IS/PO16-11/03.
Pomiary zostały wykonane	<ol style="list-style-type: none">1. na głównych i pomocniczych kierunkach pomiarowych, na kierunkach zbliżonych do azymutów anten oraz w dodatkowych pionach pomiarowych zgodnie z wymaganiami pkt 12, 13, 14 i 19 Rozporządzenia Ministra Klimatu z dnia 17 lutego 2020 r. (Dz. U. 2020, poz. 258) oraz Rozporządzenia Ministra Klimatu i Środowiska z dnia 6 maja 2022 r. zmieniającego rozporządzenie w sprawie sposobów sprawdzania dotrzymywania dopuszczalnych poziomów pól elektromagnetycznych w środowisku (Dz.U. 2022 poz. 1121).2. na obszarze pomiarowym, dla którego, na podstawie uprzednio przeprowadzonych obliczeń stwierdzono w miejscach dostępnych dla ludności występowanie pól elektromagnetycznych o najwyższym poziomie, które pochodzą z badanej instalacji zgodnie z wymaganiami pkt 5 ppkt 2 oraz pkt 13 ppkt 1 Rozporządzenia Ministra Klimatu z dnia 17 lutego 2020 r. w sprawie sposobów sprawdzania dotrzymania dopuszczalnych poziomów pól elektromagnetycznych w środowisku (Dz. U. 2020, poz. 258) oraz Rozporządzenia Ministra Klimatu i Środowiska z dnia 6 maja 2022 r. zmieniającego rozporządzenie w sprawie sposobów sprawdzania dotrzymywania dopuszczalnych poziomów pól elektromagnetycznych w środowisku (Dz.U. 2022 poz. 1121). Wyniki obliczeń nie uwzględniały parametrów pracy instalacji innych operatorów występujących na obiekcie bądź w obszarze pomiarowym.3. w miejscach dostępnych dla ludności.4. miejsca niedostępne podczas wykonywania pomiarów wskazane zostały w pkt 6 (tabeli wyniki pomiarów).

Szczególne warunki podczas wykonywania pomiarów

Pomiary wykonane zostały podczas obowiązywania w kraju stanu zagrożenia epidemicznego, zgodnie z art. 122a ust. 1b Ustawy z dnia 27 kwietnia 2001 r. – Prawo ochrony środowiska (Dz. U. z 2019 r. poz. 1396, z późn. zm.9)).

Warunki pracy urządzeń nadawczych

Tryb pracy eksploatacyjny.

4. Zróżnicowanie dopuszczalne poziomych pól elektromagnetycznych.

Zakresy znajdują się w Dzienniku Ustaw z dnia 17 grudnia 2019 r. przedstawione są w tabeli nr 2 (Dz. U. z 2019r. poz. 2448).

Parametr fizyczny	Składowa elektryczna E (V/m)	Składowa magnetyczna H (A/m)	Gęstość mocy S (W/m ²)
Zakres Częstotliwości pola elektromagnetycznego			
od 400 MHz do 2000 MHz	$1,375 \times f^{0,5}$	$0,0037 \times f^{0,5}$	f / 200
od 2 GHz do 300 GHz	61	0,16	10

5. Charakterystyka źródeł PEM.

Zgodnie z informacją otrzymaną od Klienta pomiary zostały wykonane przy ustawieniach pochyleń anten zgodnych z pkt. 13, ppkt 2 Rozporządzenia Ministra Klimatu z dnia 17 lutego 2020 roku.

Tabela 1. Anteny sektorowe - dane otrzymane od klienta

Charakterystyka promieniowania		kierunkowa													
Rzeczywisty czas pracy [h/dobę]		24													
Rodzaj wytwarzanego pola		stacjonarne													
L	Wyszczególnienie	sektor 1							sektor 2						
p															
I															
Nadajnik stacji bazowej:															
1	Typ / Producent	RBS / SRAN Ericsson													
2	Częstotliwość (pasmo) MHz	900	800	2100	1800	2600	900	800	2600	2100	1800	2600	2100	1800	
3	Maksymalna moc nadawana na sektor [dBm]	47,78	49,03	53,01	53,01	52,04	47,78	49,03	49,03	50	50	49,03	50	50	
II															
Obciążenie:															
1	Typ anteny	Huawei ADU4516R6			Huawei ADU4518R6		Huawei ADU4518R6		Huawei AMB4519R0		Huawei AMB4520R0		Huawei AMB4520R0		
2	Producent anteny	Huawei			Huawei		Huawei		Huawei		Huawei		Huawei		
3	Ilość anten	1			1		1		1		1		1		
4	Azymut	10							79						
5	Zakres kątów pochyleń anten [°]	0-10	0-10	0-12	0-12	0-12		0-10							
6	Wysokość zainst. n.p.t. [m]	43,20			43,50		43,50		43,15		43,50		43,50		
7	EIRP [W]	5085			21266		10002		8517		22014		22014		

Charakterystyka promieniowania		kierunkowa													
Rzeczywisty czas pracy [h/dobę]		24													
Rodzaj wytwarzanego pola		stacjonarne													
L	Wyszczególnienie	sektor 3							sektor 4						
p															
I		Nadajnik stacji bazowej:													
1	Typ / Producent	RBS / SRAN Ericsson													
2	Częstotliwość (pasmo) MHz	900	800	2600	2100	1800	2600	2100	1800	2600	800	2600	900	2100	1800
3	Maksymalna moc nadawana na sektor [dBm]	47,78	49,03	49,03	50	50	49,03	50	50	49,03	49,03	49,03	47,78	53,01	53,01
II		Obciążenie:													
1	Typ anteny	Huawei AMB4519R0		Huawei AMB4520R0		Huawei AMB4520R0		Huawei ADU4518R11		Huawei ADU4518R11		Kathrein 742236			
2	Producent anteny	Huawei		Huawei		Huawei		Huawei		Huawei		Kathrein			
3	Ilość anten	1		1		1		1		1		1			
4	Azymut	139						238							
5	Zakres kątów pochyleń anten [°]	0-10						2-12	0-12	2-12	0-12	0-10	0-10		
6	Wysokość zainst. n.p.t. [m]	43,15		43,50		43,50		43,15		43,15		43,5			
7	EIRP [W]	8517		22014		22014		7559		6939		21010			

Tabela 2. Anteny radioliniowe- dane otrzymane od klienta
Brak

6. Wyniki pomiarów.

Wyniki pomiarów pól elektromagnetycznych dla celów ochrony środowiska przedstawia poniższa tabela. Piony pomiarowe zostały przedstawione w zał. 2.

Nr PP	Pole-E [V/m]	Pole-E, +U [V/m]	Pole-H [A/m]	Pole-H +U [A/m]	Wys. pomiaru [m]	Opis pionu	Uwagi	WM _E	WM _H
1	0,7*	1,10	0,002	0,003	0,3-2,0	N:51°14'24,1" E:22°31'44,1"	otoczenie stacji bazowej - 100m wzdłuż gł. osi promieniowania - GKP	0,039	0,040
2	0,7*	1,10	0,002	0,003	0,3-2,0	N:51°14'25,5" E:22°31'44,1"	otoczenie stacji bazowej - 150m wzdłuż gł. osi promieniowania - GKP	0,039	0,040
3	0,8	1,10	0,002	0,003	0,3-2,0	N:51°14'27,0" E:22°31'45,2"	otoczenie stacji bazowej - 200m wzdłuż gł. osi promieniowania - GKP	0,039	0,040
4	0,7*	1,10	0,002	0,003	0,3-2,0	N:51°14'28,6" E:22°31'45,3"	otoczenie stacji bazowej - 250m wzdłuż gł. osi promieniowania - GKP	0,039	0,040
5	0,7*	1,10	0,002	0,003	0,3-2,0	N:51°14'32,4" E:22°31'47,4"	otoczenie stacji bazowej - 375m wzdłuż gł. osi promieniowania - GKP	0,039	0,040
6	0,7*	1,10	0,002	0,003	0,3-2,0	N:51°14'19,4" E:22°31'44,9"	otoczenie stacji bazowej - 50m wzdłuż gł. osi promieniowania - GKP	0,039	0,040
7	0,8	1,10	0,002	0,003	0,3-2,0	N:51°14'19,6" E:22°31'47,5"	otoczenie stacji bazowej - 100m wzdłuż gł. osi promieniowania - GKP	0,039	0,040
8	0,9	1,24	0,002	0,003	0,3-2,0	N:51°14'19,9" E:22°31'49,7"	otoczenie stacji bazowej - 150m wzdłuż gł. osi promieniowania - GKP	0,044	0,045
9	1,1	1,51	0,003	0,004	0,3-2,0	N:51°14'20,2" E:22°31'52,7"	otoczenie stacji bazowej - 200m wzdłuż gł. osi promieniowania - GKP	0,054	0,055
10	1,2	1,65	0,003	0,004	0,3-2,0	N:51°14'20,5" E:22°31'55,2"	otoczenie stacji bazowej - 250m wzdłuż gł. osi promieniowania - GKP	0,059	0,060
11	1,1	1,51	0,003	0,004	0,3-2,0	N:51°14'20,6" E:22°31'57,7"	otoczenie stacji bazowej - 300m wzdłuż gł. osi promieniowania - GKP	0,054	0,055
12	1,0	1,38	0,003	0,004	0,3-2,0	N:51°14'20,9" E:22°32'00,5"	otoczenie stacji bazowej - 350m wzdłuż gł. osi promieniowania - GKP	0,049	0,050
13	0,9	1,24	0,002	0,003	0,3-2,0	N:51°14'21,3" E:22°32'04,3"	otoczenie stacji bazowej - 435m wzdłuż gł. osi promieniowania - GKP	0,044	0,045

14	1,2	1,65	0,003	0,004	0,3-2,0	N:51°14'17,9" E:22°31'43,7"	otoczenie stacji bazowej - 50m wzdłuż gł. osi promieniowania - GKP	0,059	0,060
15	0,9	1,24	0,002	0,003	0,3-2,0	N:51°14'14,3" E:22°31'48,6"	otoczenie stacji bazowej - 200m wzdłuż gł. osi promieniowania - GKP	0,044	0,045
16	0,8	1,10	0,002	0,003	0,3-2,0	N:51°14'11,8" E:22°31'51,9"	otoczenie stacji bazowej - 300m wzdłuż gł. osi promieniowania - GKP	0,039	0,040
17	0,7*	1,10	0,002	0,003	0,3-2,0	N:51°14'09,6" E:22°31'55,1"	otoczenie stacji bazowej - 400m wzdłuż gł. osi promieniowania - GKP	0,039	0,040
18	0,8	1,10	0,002	0,003	0,3-2,0	N:51°14'18,5" E:22°31'39,1"	otoczenie stacji bazowej - 50m wzdłuż gł. osi promieniowania - GKP	0,039	0,040
19	0,8	1,10	0,002	0,003	0,3-2,0	N:51°14'17,7" E:22°31'36,9"	otoczenie stacji bazowej - 100m wzdłuż gł. osi promieniowania - GKP	0,039	0,040
20	0,8	1,10	0,002	0,003	0,3-2,0	N:51°14'16,8" E:22°31'34,6"	otoczenie stacji bazowej - 150m wzdłuż gł. osi promieniowania - GKP	0,039	0,040
21	0,7*	1,10	0,002	0,003	0,3-2,0	N:51°14'16,2" E:22°31'32,5"	otoczenie stacji bazowej - 200m wzdłuż gł. osi promieniowania - GKP	0,039	0,040
22	0,7*	1,10	0,002	0,003	0,3-2,0	N:51°14'15,1" E:22°31'30,6"	otoczenie stacji bazowej - 250m wzdłuż gł. osi promieniowania - GKP	0,039	0,040
23	0,7*	1,10	0,002	0,003	0,3-2,0	N:51°14'14,5" E:22°31'28,4"	otoczenie stacji bazowej - 300m wzdłuż gł. osi promieniowania - GKP	0,039	0,040
24	0,7*	1,10	0,002	0,003	0,3-2,0	N:51°14'13,5" E:22°31'25,9"	otoczenie stacji bazowej - 350m wzdłuż gł. osi promieniowania - GKP	0,039	0,040
25	0,7*	1,10	0,002	0,003	0,3-2,0	N:51°14'12,9" E:22°31'24,0"	otoczenie stacji bazowej - 400m wzdłuż gł. osi promieniowania - GKP	0,039	0,040
26	0,7*	1,10	0,002	0,003	0,3-2,0	N:51°14'12,3" E:22°31'22,5"	otoczenie stacji bazowej - 435m wzdłuż gł. osi promieniowania - GKP	0,039	0,040
27	0,7*	1,10	0,002	0,003	0,3-2,0	N:51°14'19,7" E:22°31'35,4"	otoczenie stacji bazowej -PKP	0,039	0,040
28	0,7*	1,10	0,002	0,003	0,3-2,0	N:51°14'24,8" E:22°31'39,9"	otoczenie stacji bazowej -PKP	0,039	0,040
29	0,7*	1,10	0,002	0,003	0,3-2,0	N:51°14'22,5" E:22°31'45,8"	otoczenie stacji bazowej -PKP	0,039	0,040
30	0,7*	1,10	0,002	0,003	0,3-2,0	N:51°14'20,9" E:22°31'46,5"	otoczenie stacji bazowej -PKP	0,039	0,040
31	0,7*	1,10	0,002	0,003	0,3-2,0	N:51°14'15,7" E:22°31'44,7"	otoczenie stacji bazowej -PKP	0,039	0,040
32	0,7*	1,10	0,002	0,003	0,3-2,0	N:51°14'17,7" E:22°31'41,1"	otoczenie stacji bazowej -PKP	0,039	0,040
A	0,7*	1,10	0,002	0,003	0,3-2,0	N:51°14'23,3" E:22°31'44,0"	Konrada Wallenroda 2E, pomiar przed budynkiem - DPP	0,039	0,040
B	0,7*	1,10	0,002	0,003	0,3-2,0	N:51°14'22,6" E:22°31'40,0"	Zana 36a, pomiar przed budynkiem - DPP	0,039	0,040
C	0,8	1,10	0,002	0,003	0,3-2,0	N:51°14'26,4" E:22°31'43,5"	Rymwida 8, pomiar przed budynkiem - DPP	0,039	0,040
D	0,7*	1,10	0,002	0,003	0,3-2,0	N:51°14'27,5" E:22°31'45,4"	Rymwida 6, pomiar przed budynkiem - DPP	0,039	0,040
E	0,7*	1,10	0,002	0,003	0,3-2,0	N:51°14'29,8" E:22°31'46,6"	Grażyny 5, pomiar przed budynkiem - DPP	0,039	0,040
F	0,7*	1,10	0,002	0,003	0,3-2,0	N:51°14'33,8" E:22°31'47,6"	Grażyny 17, pomiar przed budynkiem - DPP	0,039	0,040
G	1,1	1,51	0,003	0,004	0,3-2,0	N:51°14'19,2" E:22°31'56,2"	Kazimierza Wielkiego 8, pomiar przed budynkiem - DPP	0,054	0,055
H	0,9	1,24	0,002	0,003	0,3-2,0	N:51°14'21,5" E:22°32'03,1"	Kazimierza Wielkiego 11, pomiar przed budynkiem - DPP	0,044	0,045
I	0,9	1,24	0,002	0,003	0,3-2,0	N:51°14'13,4" E:22°31'50,0"	Zana 45, pomiar przed budynkiem - DPP	0,044	0,045
J	0,8	1,10	0,002	0,003	0,3-2,0	N:51°14'11,7" E:22°31'52,5"	Faraona 3, pomiar przed budynkiem - DPP	0,039	0,040
K	0,7*	1,10	0,002	0,003	0,3-2,0	N:51°14'11,0" E:22°31'53,9"	Faraona 6, pomiar przed budynkiem - DPP	0,039	0,040
L	0,7*	1,10	0,002	0,003	0,3-2,0	N:51°14'09,8" E:22°31'57,2"	Emancypantek 3, pomiar przed budynkiem - DPP	0,039	0,040
M	0,7*	1,10	0,002	0,003	0,3-2,0	N:51°14'16,7" E:22°31'39,8"	Zana 39-41, pomiar przed budynkiem - DPP	0,039	0,040
N	0,7*	1,10	0,002	0,003	0,3-2,0	N:51°14'17,8" E:22°31'35,1"	Zana 37, pomiar przed budynkiem - DPP	0,039	0,040

„Bez pisemnej zgody Laboratorium niniejsze sprawozdanie nie może być powielane inaczej, jak tylko w całości. Ponadto wyniki dotyczą tylko badanych obiektów przywołanych w niniejszym sprawozdaniu z badań”

O	0,8	1,10	0,002	0,003	0,3-2,0	N:51°14'14,9" E:22°31'38,8"	Filaretów 15, pomiar przed budynkiem - DPP	0,039	0,040
P	0,7*	1,10	0,002	0,003	0,3-2,0	N:51°14'15,7" E:22°31'34,4"	Pana Balcera 3, pomiar przed budynkiem - DPP	0,039	0,040
R	0,7*	1,10	0,002	0,003	0,3-2,0	N:51°14'17,2" E:22°31'34,1"	Sawy 6, pomiar przed budynkiem - DPP	0,039	0,040
S	0,7*	1,10	0,002	0,003	0,3-2,0	N:51°14'16,7" E:22°31'31,1"	Pana Balcera 2, pomiar przed budynkiem - DPP	0,039	0,040
T	0,7*	1,10	0,002	0,003	0,3-2,0	N:51°14'14,4" E:22°31'26,3"	Pana Balcera 1, pomiar przed budynkiem - DPP	0,039	0,040
U	0,7*	1,10	0,002	0,003	0,3-2,0	N:51°14'13,1" E:22°31'23,3"	Sawy 5, pomiar przed budynkiem - DPP	0,039	0,040

Wynik pomiaru pole - E [V/m] - maksymalna wartość chwilowa zmierzona w danym pionie pomiarowym (uśredniona na podstawie punktu 11 Rozporządzenia Ministra Zdrowia).

Przyjęto najniższą dopuszczalną wartość składowej elektrycznej pola dla objętego pomiarami zakresu częstotliwości min(MEgr)= 28 V/m oraz składowej magnetycznej min(MHgr)= 0,073 A/m.

* - wartość zmierzona poniżej zakresu akredytacji. Do obliczeń przyjęto wartość zgodną z dolną granicą akredytowanego zakresu pomiarowego metody.

GKP - główne kierunki pomiarowe

PKP - pomocnicze kierunki pomiarowe

DPP - dodatkowe punkty pomiarowe

PP - pion pomiarowy

U - niepewność pomiarowa rozszerzona, przy poziomie ufności 95%, z uwzględnieniem współczynnika rozszerzenia k=2

WM_E- wartość wskaźnikowa poziomu emisji pól elektromagnetycznych dla miejsc dostępnych dla ludności dla składowej elektrycznej pola

WM_H- wartość wskaźnikowa poziomu emisji pól elektromagnetycznych dla miejsc dostępnych dla ludności dla składowej magnetycznej pola

7. Stwierdzenie zgodności

Na podstawie wytycznych podanych w Rozporządzeniu Ministra Zdrowia z dnia 17 grudnia 2019 r. w sprawie dopuszczalnych poziomów pól elektromagnetycznych w środowisku (Dz.U. 2019 poz. 2448) oraz sposobów sprawdzania dotrzymania tych poziomów zgodnie z Rozporządzeniem Ministra Klimatu z dnia 17 lutego 2020 r. w sprawie sposobów sprawdzania dotrzymania dopuszczalnych poziomów pól elektromagnetycznych w środowisku (Dz.U. 2020 poz. 258) oraz Rozporządzeniem Ministra Klimatu i Środowiska z dnia 6 maja 2022 r. zmieniającego rozporządzenie w sprawie sposobów sprawdzania dotrzymywania dopuszczalnych poziomów pól elektromagnetycznych w środowisku (Dz.U. 2022 poz. 1121), dotyczących źródła wymagań, które muszą być spełnione, w oparciu o zasadę podejmowania decyzji zgodną z pkt 26 Rozporządzenia Ministra Klimatu z dnia 17 lutego 2020 r. (Dz.U. 2020 poz. 258), na podstawie wyników pomiarów pól elektromagnetycznych wykonanych w dniu 17.08.2022 stwierdzono, iż w miejscach dostępnych dla ludności, dopuszczalne poziomy pól elektromagnetycznych w środowisku, określone w przepisach wydanych na podstawie art. 122 ust. 1 ustawy z dnia 27 kwietnia 2001 r. – Prawo ochrony środowiska, uznaje się za dotrzymane w obszarze pomiarowym, w którym w wyniku zastosowania sposobu sprawdzenia dotrzymania dopuszczalnych poziomów pól elektromagnetycznych w środowisku, udokumentowano, że żadna z wartości wskaźnikowych nie przekracza wartości 1.

8. Oświadczenie.

Wyniki badania odnoszą się wyłącznie do badanego obiektu.

Bez pisemnej zgody sprawozdanie nie może być powielane inaczej, jak tylko w całości.

Uwagi i zastrzeżenia przyjmowane są w formie pisemnej w ciągu 14 dni od daty otrzymania sprawozdania.

9. Spis załączników.

Załącznik 1. Lokalizacja obiektu.

„Bez pisemnej zgody Laboratorium niniejsze sprawozdanie nie może być powielane inaczej, jak tylko w całości. Ponadto wyniki dotyczą tylko badanych obiektów przywołanych w niniejszym sprawozdaniu z badań”

98/07/OŚ/2022-P4-W

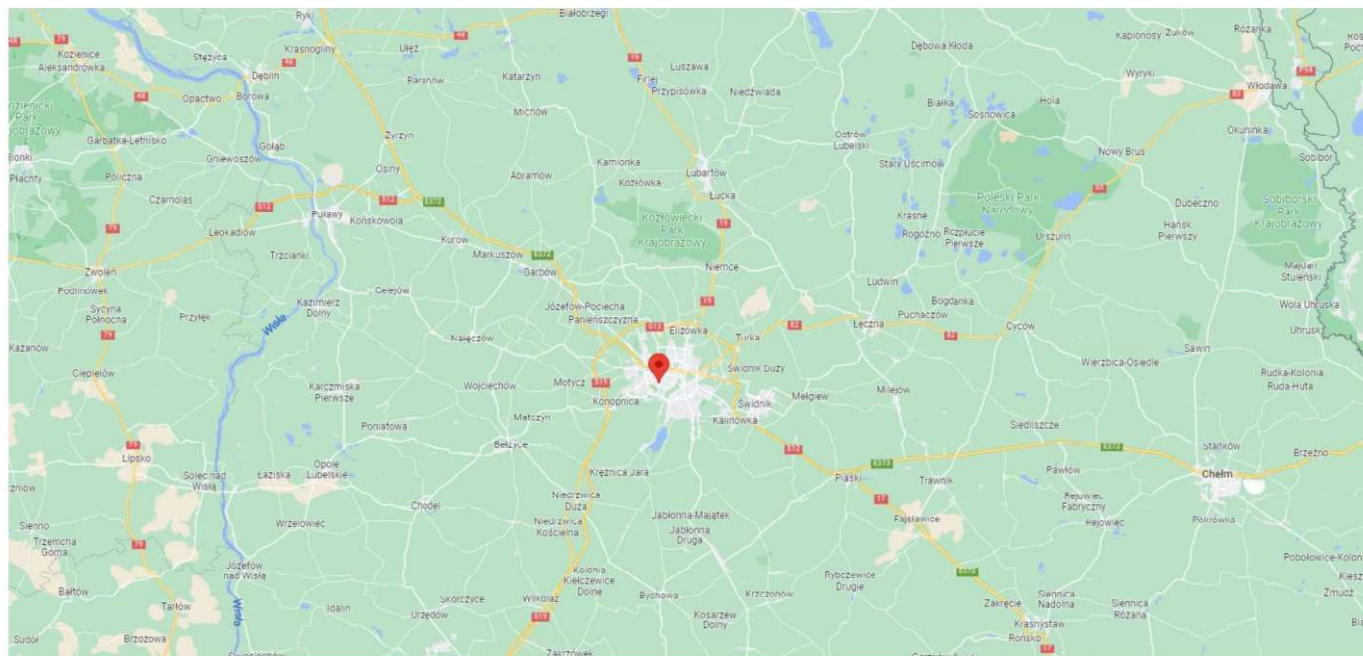
Strona 8 z 11

Zał. 2. Widok pionów pomiarowych

Zał. 3. Załączniki graficzne

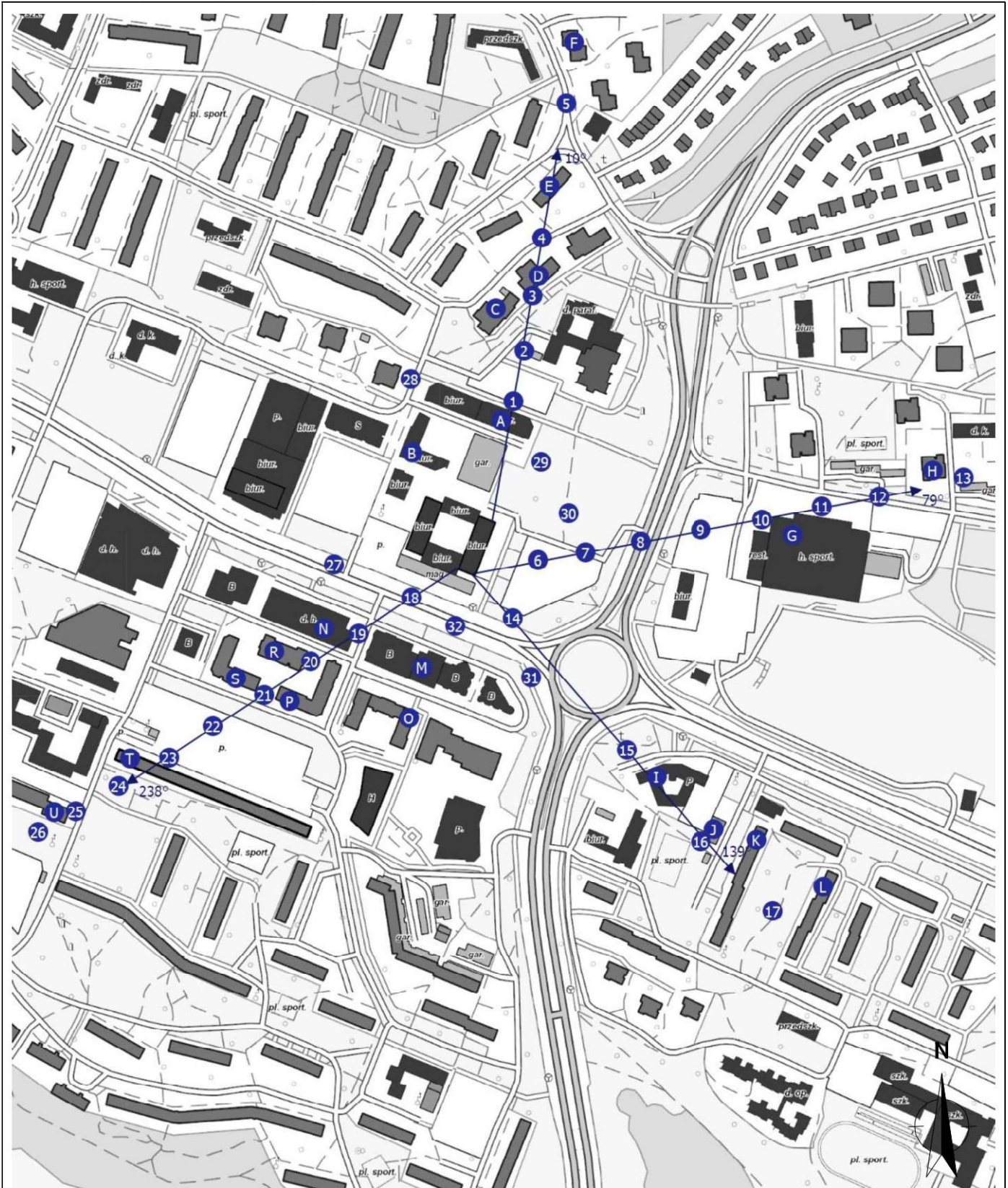
Koniec sprawozdania

Zał. 1. Lokalizacja obiektu




Współrzędne geograficzne	
długość:	22°31'43.01"E
szerokość:	51°14'19.83"N


Załącznik 2. Widok pionów pomiarowych




LEGENDA:

 inna instalacja radiokomunikacyjna

 brak dostępu

 pion pomiaru

 antena sektorowa

 antena radioliowa

Skala:

1:7140



Załącznik 3. Załączniki graficzne.

